

*Посвящается превосходному химику
и замечательному человеку, профессору,
заслуженному деятелю наук РФ
Леониду Исааковичу Беленькому
в связи с его 80-летием*

**А. М. Старосотников, Д. В. Хакимов, М. А. Бастрakov,
С. Ю. Печенкин, С. А. Шевелев, Т. С. Пивина***

**ОСОБЕННОСТИ 1,3-ДИПОЛЯРНОГО ЦИКЛОПРИСОЕДИНЕНИЯ
N-МЕТИЛАЗОМЕТИНИЛИДА К НИТРОБЕНЗАЗОЛАМ**

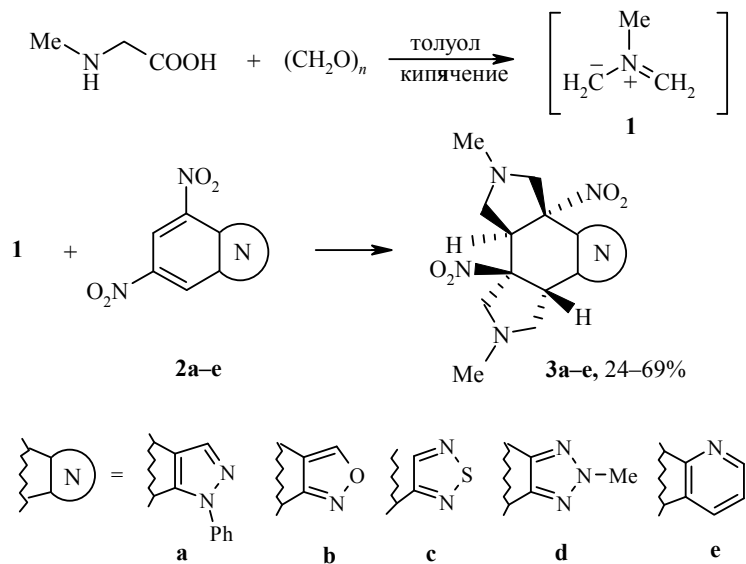
Представлены синтетические подходы к 1,3-диполярному циклоприсоединению N-метилазометинилида к мононитробензазолам. Квантово-химическими методами (HF/STO-3G и B3LYP/6-31G*) изучено геометрическое и электронное строение и оценены индексы реакционной способности соединений. Показано, что 1,3-диполярное циклоприсоединение N-метилазометинилида к диполярофилам имеет полярный характер и протекает в соответствии с нормальным (неинверсионным) электронным распределением.

Ключевые слова: ароматические нитросоединения, индексы реакционной способности, квантово-химические расчёты, методы HF/STO-3G и B3LYP/6-31G*, механизм 1,3-диполярного циклоприсоединения, [3+2]-циклоприсоединение.

1,3-Диполярное циклоприсоединение (1,3-ДЦП) азометинилидов к алкенам широко используется в современном органическом синтезе, так как является одним из наиболее эффективных методов построения пирролидинового, пирролинового и пиррольного циклов [1]. Множество разнообразных азотсодержащих гетероциклов, полициклических и природных соединений синтезировано в последнее время на основе этой методологии [2–6]. Следует отметить, что использование хиральных катализаторов позволяет получать целевые продукты с высокой стереоселективностью [7–10].

Недавно [11] мы сообщали о первом примере реакций 1,3-ДЦП азометинилидов с нитроаренами. В результате двойного циклоприсоединения нестабилизированного N-метилазометинилида **1** к *m*-динитробензазолам **2a–d**, а также к 6,8-динитрохинолину **2e** были получены производные декагидропирроло[3,4-*e*]изоиндола **3a–e** (схема 1) с хорошими выходами. Оба фрагмента C–C–NO₂ бициклических систем **2a–e** выступали в качестве диполярофилов, подобно сопряжённым нитроалкенам, которые легко дают аддукты с азометинилидами [9, 10, 12, 13].

Схема 1



В продолжение наших исследований [14] мы изучили реакции 1,3-ДЦП нестабилизированного N-метилазометиниляда с мононитробензазолами. В качестве диполярофилов использовали π -дефицитные бензогетероциклы с sp^2 -гибридизированным атомом азота, связанным с бензольным циклом, – мононитропроизводные бензофуразана, бензотиадиазола и бензо[*c*]-изоксазола (**4a–e**) [15–18]. Азометиниляд **1** генерировали *in situ* при кипячении саркосина и параформа в толуоле в присутствии нитросоединений **4a–e** [12] (схема 2, табл. 1).

Схема 2



Т а б л и ц а 1
1,3-Диполярное циклоприсоединение соединения **1** к мононитробензазолам **4a–e**

Соединение	X	Y	R	R ¹	Длительность реакции, ч	Продукт	Выход, %
4a	O	N	H	NO ₂	0.2	5a	75
4b	S	N	H	NO ₂	12	5b	42
4c	O	CH	NO ₂	H	2	5c	40
4d	O	N	NO ₂	H	0.2	5d	98
4e	S	N	NO ₂	H	1	5e	64

Таблица 2

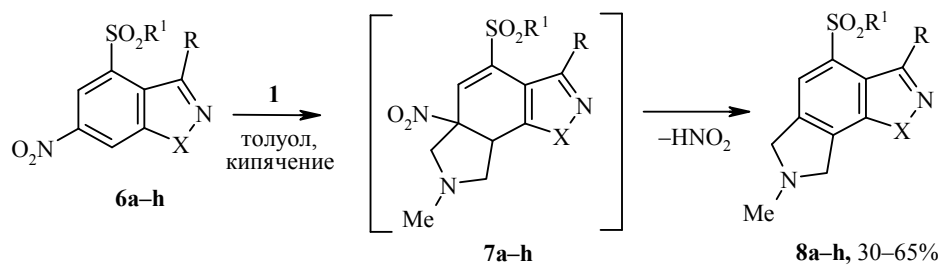
1,3-Диполярное циклоприсоединение соединения 1 к нитросульфонам 6a–h

Сульфон	X	R	R ¹	Длительность реакции, ч	Продукт	Выход, %
6a	NPh	H	Ph	6	8a	30
6b	NPh	H	CH ₂ Ph	11	8b	32
6c	NPh	CO ₂ Et	CH ₂ Ph	16	8c	54
6d	NPh	CONHC ₆ H ₄ OMe-4	CH ₂ Ph	12	8d	61
6e	O	1,3-Диоксолан-2-ил	CH ₂ Ph	24	8e	30
6f	O	1,3-Диоксолан-2-ил	Ph	4	8f	39
6g	O	1,3-Диоксолан-2-ил	cyclo-C ₆ H ₁₁	16	8g	65
6h	O	1,3-Диоксолан-2-ил	(CH ₂) ₂ CO ₂ Me	24	8h	40

В случае менее π -дефицитных 6-нитро-1-фенилиндазолов и 6-нитробензо[*d*]изоксазолов образования циклоаддуктов не наблюдалось, исходные соединения не реагировали, хотя 4,6-динитро-1-фенилиндазол (**2a**, схема 1) легко подвергался двойному циклоприсоединению под действием азометинилида **1**. В то же время, введение электроноакцепторных групп в положение 4 гетероциклической системы (например, алкил- и арилсульfonyльных, синтез такого рода соединений см. в [19–23]) позволяет получить соответствующие циклоаддукты (схема 3, табл. 2).

В отличие от 4,6-динитроиндазола **2a**, который образует бис-аддукты (схема 1), в случае сульfonyльных производных **6** циклоприсоединение происходит исключительно по фрагменту C=C–NO₂. Кроме того, промежуточные циклоаддукты **7a–h** не могут быть выделены из-за быстрой rearomatizации с элиминированием HNO₂, но при этом образуются соединения **8a–h** [14].

Схема 3



Для подтверждения предположения о механизме реакции, характерном для полярного процесса присоединения метилазометинилида к диполяро-

филам, были привлечены методы квантовой химии.

Квантово-химические расчёты электронного строения и индексов реакционной способности

Расчёты пространственного и электронного строения соединений выполнены с использованием программного комплекса Gaussian 98 [24] в Вычислительном центре ИОХ РАН. Вначале для каждого соединения (в газовой фазе) осуществлялся поиск глобального минимума поверхности потенциальной энергии (ППЭ) неэмпирическим методом Хартри–Фока с базисом STO-3G. Последующая оптимизация выполнялась на основе полученной геометрии в рамках теории функционала плотности (DFT) с гибридным обменно-корреляционным функционалом B3LYP в валентно-расщеплённом базисе 6-31G*. Положения стационарных точек фиксировались на основе матрицы Гессе по отсутствию мнимых частот.

В последнее время для оценки реакционной способности соединений, вступающих в реакции, например циклоприсоединения, используется индекс глобальной электрофильтности [25]:

$$\omega = \mu^2 / 2\eta, \quad (1)$$

где μ – электронный химический потенциал, η – химическая жесткость. В свою очередь, индексы μ и η вычисляются через энергии граничных молекулярных орбиталей (МО):

$$\mu = \frac{1}{2}(\varepsilon_H + \varepsilon_L), \quad \eta = (\varepsilon_L - \varepsilon_H), \quad (2)$$

где ε_H – энергия высшей занятой молекулярной орбитали (ВЗМО), ε_L – энергия низшей свободной молекулярной орбитали (НСМО), которые считаются [26] ответственными за реакционную способность.

Определяющим в реакции 1,3-циклоприсоединения диполя к диполярофилу предполагается [28, 29] взаимодействие ВЗМО и НСМО реагентов. Чем меньше энергетический зазор между граничными МО реагентов, тем легче реализуются периклические реакции, в том числе, 1,3-ДЦП [30].

Результаты оценок индексов реакционной способности исследованных соединений представлены в табл. 3.

Как следует из данных табл. 3, во всех случаях 1,3-диполярное циклоприсоединение N-метилазометинилида **1** к нитро- и динитробензазолам осуществляется через взаимодействие ВЗМО диполя с НСМО диполярофилов, т. е. процесс протекает в соответствии с нормальным (неинверсионным) [30] электронным распределением.

Использование значений ω позволяет классифицировать соединения по следующей шкале [25]: соединения с $\omega > 1.5$ эВ относятся к сильным электрофилам, диапазон $1.5 > \omega > 0.9$ эВ соответствует средним электрофилам, а соединения с $\omega < 0.9$ эВ следует отнести к слабым электрофилам (нуклеофилы).

Таблица 3

Характеристики электронного строения и индексы реакционной способности исследованных соединений

№^*	Соединение	$E_{\text{ВЗМО}}$, эВ	$E_{\text{НСМО}}$, эВ	μ , эВ	η , эВ	ω , эВ	$\Delta N_{\text{max}}^{**}$	ΔE , эВ***	$\Delta \omega$, эВ
-	N-Метилазометинид (1)	-3.94	0.35	-1.80	4.29	0.38	0.42	-	-
-	6-Нитро-1-фенилдиазол	-6.28	-2.53	-4.41	3.76	2.59	1.17	1.41	2.21
1	6-Нитро-1-фенил-4-(фенилсульфонил)-диазол (6a)	-6.41	-2.68	-4.55	3.73	2.77	1.22	1.26	2.40
2	6-Нитробензо[с]изоксазол (4c)	-6.83	-2.98	-4.92	3.85	3.13	1.28	0.95	2.75
3	4-Нитробензотиадиазол (4b)	-7.41	-3.28	-5.35	4.13	3.46	1.29	0.66	3.08
4	2-Метил-4,6-динитро-2Н-бензотриазол (2d)	-7.66	-3.32	-5.49	4.34	3.47	1.27	0.62	3.10
5	5-Нитробензотиадиазол (4e)	-7.37	-3.30	-5.34	4.08	3.49	1.31	0.64	3.12
6	4,6-Динитро-1-фенилтиадиазол (2a)	-6.79	-3.23	-5.01	3.56	3.53	1.41	0.70	3.16
-	5,7-Динитрохинолин	-7.71	-3.43	-5.57	4.29	3.62	1.30	0.51	3.24
7	6,8-Динитрохинолин (2e)	-6.88	-3.37	-5.13	3.51	3.74	1.46	0.57	3.36
8	4-Нитробензофуразан (4a)	-7.64	-3.52	-5.58	4.13	3.77	1.35	0.42	3.39
9	5-Нитробензофуразан (4d)	-7.64	-3.52	-5.58	4.13	3.77	1.35	0.42	3.40
10	4,6-Динитробензо[с]изоксазол (2b)	-7.54	-3.84	-5.69	3.70	4.38	1.54	0.10	4.00
11	4,6-Динитробензотиадиазол (2c)	-8.07	-3.98	-6.02	4.09	4.43	1.47	-0.04	4.06

* Номера соответствуют цифрам на графике рисунка.

** $\Delta N_{\text{max}} = -\mu/\eta$ [27] – максимальное количество электронов, которое может принять электрофильтральный партнер.

*** ΔE – разность энергий НСМО диполярифилла и ВЗМО диполя.

Результаты анализа рассчитанных индексов реакционной способности μ , η , ω , ΔN_{\max} и энергий граничных орбиталей свидетельствуют о том, что диполь N-метилазометинилида с $\omega = 0.38$ эВ имеет нуклеофильный характер, а исследуемые диполярофилы – выраженный электрофильный. О том же свидетельствует и положительный знак в энергии HСМО в N-метилазометинилиде и отрицательный – в диполярофилах.

Разность электрофильностей диполя и диполярофилла ($\Delta\omega$) и значение ΔE характеризуют полярность процесса. Реакции с большими значениями $\Delta\omega$ строго полярны, а с малыми – прототипы неполярного процесса [30].

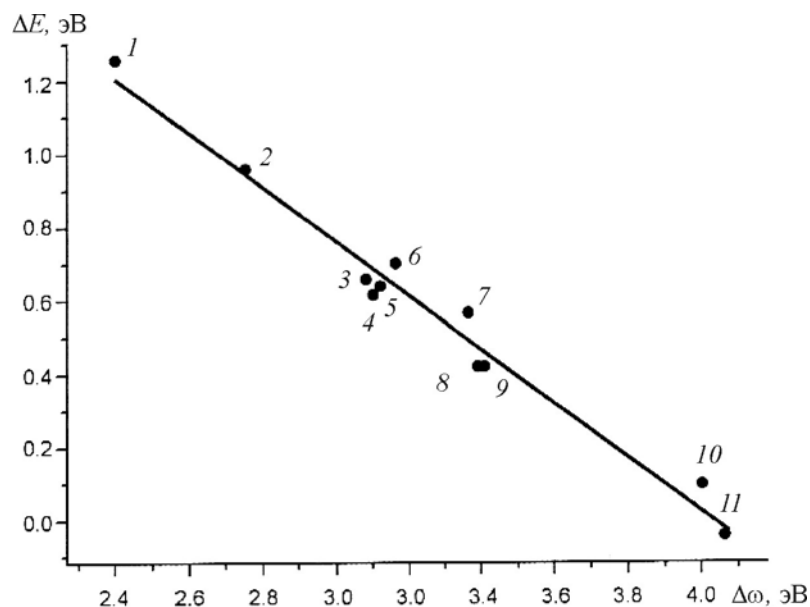
Введение электроноакцепторных заместителей в молекулу диполярофилла понижает энергию его HСМО [30]. Сравнение энергий HСМО 6-нитро-1-фенилиндазола и его 4- PhSO_2 -замещенного аналога с разностью энергий HСМО и ВЗМО N-метилазометинилида позволяет заключить, что для реакций с нормальным электронным распределением такое замещение способствует протеканию 1,3-ДЦП диполя к диполярофиллу из-за уменьшения энергетической щели между граничными орбиталями реагентов.

Нами обнаружена прямая зависимость между значениями ΔE и $\Delta\omega$ (рисунок).

Эта зависимость в рамках метода наименьших квадратов описывается уравнением:

$$\Delta E = -0.73632 \cdot (\Delta\omega) + 2.97042, R^2 = 0.97$$

Таким образом, результаты квантово-химических расчетов подтверждают то, что 1,3-ДЦП N-метилазометинилида к изученным диполярофилам имеет строго полярный характер и протекает в соответствии с нормальным (неинверсионным) [30] электронным распределением в молекулах.



Зависимость разности энергий HСМО и ВЗМО (ΔE) реагентов от разности их электрофильностей ($\Delta\omega$)

Работа выполнена при финансовой поддержке Российского фонда

фундаментальных исследований (гранты 10-03-91162-ГФЕН-а и 10-03-00185-а).

С П И С О К Л И Т Е Р А Т У Р Ы

1. A. Padwa, W. H. Pearson, *Synthetic Applications of 1,3-Dipolar Cycloaddition Chemistry Toward Heterocycles and Natural Products*, Wiley, New York, 2002, p. 169.
2. S. Roy, T. L. S. Kishbaugh, J. P. Jasinski, G. W. Gribble, *Tetrahedron Lett.*, **48**, 1313 (2007).
3. R. Grigg, M. A. B. Sarker, *Tetrahedron*, **62**, 10332 (2006).
4. B. F. Bonini, F. Boschi, M. C. Franchini, M. Fochi, F. Fini, A. Mazzanti, A. Ricci, *Synlett*, 543 (2006).
5. C. Najera, J. M. Sansano, *Curr. Org. Chem.*, **7**, 1105 (2003).
6. M. Ghandi, A. Taheri, A. Abbasi, *J. Heterocycl. Chem.*, **47**, 611 (2010).
7. J. M. Longmire, B. Wang, X. Zhang, *J. Am. Chem. Soc.*, **124**, 13400 (2002).
8. C. Alemparte, G. Blay, K. A. Jorgensen, *Org. Lett.*, **7**, 4569 (2005).
9. J. Xie, K. Yoshida, K. Takasu, Y. Takemoto, *Tetrahedron Lett.*, **49**, 6910 (2008).
10. M.-X. Xue, X.-M. Zhang, L.-Z. Gong, *Synlett*, 691 (2008).
11. M. A. Bastrakov, A. M. Starosotnikov, S. Yu. Pechenkin, V. V. Kachala, I. V. Glukhov, S. A. Shevelev, *J. Heterocycl. Chem.*, **47**, 893 (2010).
12. O. Tsuge, S. Kanemasa, *Adv. Heterocycl. Chem.*, **45**, 231 (1989).
13. A. Viranyi, G. Marth, A. Danesco, G. Blasko, L. Toke, M. Nyerges, *Tetrahedron*, **62**, 8720 (2006).
14. A. M. Starosotnikov, M. A. Bastrakov, S. Yu. Pechenkin, M. A. Leontieva, V. V. Kachala, S. A. Shevelev, *J. Heterocycl. Chem.*, 2011, принято к печати (DOI 10.1002/jhet.599).
15. P. B. Ghosh, M. W. Whitehouse, *J. Med. Chem.*, **11**, 305 (1968).
16. T. Murashima, D. Shiga, K. Nishi, H. Uno, N. Ono, *J. Chem. Soc., Perkin. Trans. I*, 2671 (2000).
17. H. G. Garg, *J. Org. Chem.*, **27**, 3683 (1962).
18. T. Murashima, K. Fujita, K. Ono, T. Ogawa, H. Uno, N. Ono, *J. Chem. Soc., Perkin. Trans. I*, **12**, 1403 (1996).
19. А. М. Старосотников, С. А. Шевелев, *Изв. АН, Сер. хим.*, 1703 (2003).
20. В. М. Виноградов, А. М. Старосотников, С. А. Шевелев, *Mendeleev Commun.*, 198 (2002).
21. А. М. Старосотников, А. В. Лобач, Ю. А. Хомутова, С. А. Шевелев, *Изв. АН, Сер. хим.*, 523 (2006).
22. А. М. Старосотников, В. В. Качала, А. В. Лобач, В. М. Виноградов, С. А. Шевелев, *Изв. АН, Сер. хим.*, 1690 (2003).
23. В. М. Виноградов, И. Л. Далингер, А. М. Старосотников, С. А. Шевелев, *Изв. АН, Сер. хим.*, 445 (2001).
24. M. J. Frish, G. W. Trucks, H. B. Schlegel, G. E. Scuseria, M. A. Robb, J. R. Cheeseman, V. G. Zakrzewski, J. A. Montgomery, Jr., R. E. Stratmann, J. C. Burant, S. Dapprich, J. M. Millam, A. D. Daniels, K. N. Kudin, M. C. Strain, O. Farkas, J. Tomasi, V. Barone, M. Cossi, R. Cammi, B. Mennucci, C. Pomelli, C. Adamo, S. Clifford, J. Ochterski, G. A. Petersson, P. Y. Ayala, Q. Cui, K. Morokuma, D. K. Malick, A. D. Rabuck, K. Raghavachari, J. B. Foresman, J. Cioslowski, J. V. Ortiz, A. G. Baboul, B. B. Stefanov, G. Liu, A. Liashenko, P. Piskorz, I. Komazomi, R. Gomperts, R. L. Martin, D. J. Fox, T. Keith, M. A. Al-Laham, C. Y. Peng, A. Nanayakkara, M. Challacombe, P. M. W. Gill, B. Johnson,

- W. Chen, M. W. Wong, J. L. Andres, C. Gonzales, M. Head-Gordon, E. S. Replogle, J. A. Pople, *GAUSSIAN 98. Revision A.9*, Gaussian Inc., Pittsburgh (PA), 1998.
25. R. G. Parr, L. V. Szentpaly, S. Liu, *J. Am. Chem. Soc.*, **121**, 1922 (1999).
26. R. G. Parr, W. Yang, *Density Functional Theory of Atoms and Molecules*, Oxford Univ. Press, New York, 1989.
27. L. R. Domingo, M. Arno, R. Contreras, P. Perez, *J. Phys. Chem., A*, **106**, 952 (2002).
28. R. Sustmann, *Tetrahedron Lett.*, **12**, 2717 (1971).
29. R. Sustmann, *Pure Appl. Chem.*, **40**, 569 (1974).
30. М. Л. Кузнецов, *Успехи химии*, **75**, 1045 (2006).

Институт органической химии РАН
им. Н. Д. Зелинского,
Ленинский проспект, 47, Москва 119991, Россия
e-mail: tsp@ioc.ac.ru

Поступило 22.11.2010